

Кравцова Александра Николаевна, группа 12.1

Лабораторная работа № 6

Вариант № 4

Распознавание образов на основе непараметрических алгоритмов оценивания плотности распределения случайной величины

Цель работы

Исследовать алгоритмы распознавания образов на основе оценивания плотности распределения случайных величин и случайных векторов при использовании методов Парзена и k ближайших соседей.

Форма контроля

Письменный отчёт (допускается представление в электронном виде). Опрос в устной форме в соответствии с перечнем контрольных вопросов.

Количество отведённых аудиторных часов

4

Содержание работы

Получить у преподавателя вариант задания и написать код, реализующий соответствующий алгоритм обработки информации. Для ответа на поставленные в задании вопросы провести численный эксперимент или статистическое имитационное моделирование и представить соответствующие графики. Провести анализ полученных результатов и представить его в виде выводов по проделанной работе.

Задание

Используя код Вашей лабораторной №3, реализуйте алгоритм распознавания образов, применив оценивание по методу k ближайших соседей. Вычислите экспериментально вероятности ошибок распознавания. Сравните их с вероятностями ошибок (теоретическими или экспериментальными), полученными в ходе выполнения лабораторной №3. Отобразите поверхности плотностей распределения классов, задаваемых теоретически, и полученных в результате оценивания.

Код программы (Желтым выделены отличные от шаблона фрагменты):

(Код программы лабораторной №3)

```
%Файл pr53_rec_gaus_uneq. Синтез и анализ алгоритмов распознавания ГСВ с  
%различными матрицами ковариации  
% Построить график зависимости ошибки первого рода в матрице Чернова  
% (для первого класса) от расстояния между классами. Сравнить с  
% теоретическим значением.
```

```
DM = 0.5 : 5; % разные значения масштаба расстояний  
err2c1_p = zeros(size(DM)); % ошибка второго рода первого  
класса  
% Теоретические значения ошибок  
terr2c1 = zeros(size(DM)); % ошибка второго рода первого  
класса  
err2c1 = zeros(size(DM));  
% Добавляется цикл по масштабам  
for tt = 1: numel(DM) % цикл по расстояниям между классами (по масштабам)  
    %1.Задание исходных данных  
    n=2;M=2;%размерность признакового пространства и число классов  
    K=1000;%количество статистических испытаний  
  
    %Априорные вероятности, математические ожидания и матрицы ковариации  
    классов  
    dm=2.0;%расстояние между математическими ожиданиями классов по  
    координатным осям  
    C=zeros(n,n,M); C_=C;%матрица ковариации вектора признаков различных  
    классов  
    pw=[0.4 0.6];  
    pw=pw/sum(pw);  
    m=[2 7; 1 10]';  
    % ЗДЕСЬ добавляется строка  
    m=m*DM(tt); % применение очередного масштаба  
    C(:,:,1)=[4 -2; -2 4];  
    C(:,:,2)=[5 1; 1 5];  
    for l=1:M  
        C_(:,:,l)=C(:,:,l)^-1;  
    end  
    np=sum(pw); pw=pw/np; %исключение некорректного задания априорных  
    вероятностей
```

% 1.1. Визуализация исходной совокупности образов

```
N = K * M;  
NN = zeros(M, 1);  
for k = 1 : M - 1  
    NN(k) = uint16(N * pw(k));  
end;  
NN(M) = N - sum(NN);  
label = {'bo', 'r+', 'k*', 'gx'};  
IMS = []; %общая совокупность образов  
subplot(2,3,tt);  
hold on; title('Исходные метки образов');  
for i=1:M,%цикл по классам  
    ims = repmat(m(:,i), [1, NN(i)]) + randnkor(n,NN(i),C(:,:,i));  
%генерация K образов i-го  
    plot(ims(1, :), ims(2, :), label{i}, 'MarkerSize', 10, 'LineWidth', 1);  
    IMS = [IMS, ims]; %добавление в общую совокупность образов  
end;
```

% + Этот пункт 1.2. Генерация обучающих выборок классов

```

% число образов каждого класса
Ks = fix(K * pw);
Ks(end) = K - sum(Ks(1 : end - 1));
for i=1:M, %цикл по классам
    XN{i} = repmat(m(:,i), [1, Ks(i)]) + randncor(n,Ks(i),C(:, :, i));
%генерация K образов i-го класса
end;

%2.Расчет матриц вероятностей ошибок распознавания (необходимо посчитать
теоретическую ошибку)
PIJ=zeros(M); mg=zeros(M); Dg=zeros(M); l0_=zeros(M);
for i=1:M
    for j=i+1:M
        dmij=m(:,i)-m(:,j);
        l0_(i,j)=log(pw(j)/pw(i));
        dti=det(C(:, :, i)); dtj=det(C(:, :, j));
        trij=trace(C_(:, :, j)*C(:, :, i)-eye(n)); trji=trace(eye(n)-
C_(:, :, i)*C(:, :, j));
        mg1=0.5*(trij+dmij'*C_(:, :, j)*dmij-log(dti/dtj));
        Dg1=0.5*trij^2+dmij'*C_(:, :, j)*C(:, :, i)*C_(:, :, j)*dmij;
        mg2=0.5*(trji-dmij'*C_(:, :, i)*dmij+log(dtj/dti));
        Dg2=0.5*trji^2+dmij'*C_(:, :, i)*C(:, :, j)*C_(:, :, i)*dmij;
        sD1=sqrt(Dg1); sD2=sqrt(Dg2);
        PIJ(i,j)=normcdf(l0_(i,j),mg1,sD1); PIJ(j,i)=1-
normcdf(l0_(i,j),mg2,sD2);
        mu2=(1/8)*dmij'*((C(:, :, i)/2+C(:, :, j)/2)^-1)*dmij...
+0.5*log((dti+dtj)/(2*sqrt(dti*dtj))); %расстояние
Бхатачария
    end
    PIJ(i,i)=1-sum(PIJ(i, :)); %нижняя граница вероятности правильного
распознавания
end

%3.Тестирование алгоритма методом статистических испытаний (расчет
экспериментальных ошибок)
Pcv=zeros(M); p=zeros(M,1); % +
x=ones(n,1); u=zeros(M,1);
Pc_=zeros(M); %экспериментальная матрица вероятностей ошибок
for k=1:K %цикл по числу испытаний
    for i=1:M %цикл по классам
        [x,px]=randncor(n,1,C(:, :, i)); x=x+m(:,i); %генерация образа i-го
класса
        for j=1:M %вычисление значения разделяющих функций
            u(j)=-0.5*(x-m(:,j))'*C_(:, :, j)*(x-m(:,j))-
0.5*log(det(C(:, :, j)))+log(pw(j));
            p(j)=vknn(x, XN{j}, 300);
        end
        [ui,iai]=max(u); %определение максимума (3 лаба)
        Pc_(i,iai)=Pc_(i,iai)+1; %фиксация результата распознавания (3
лаба)

        [ui,iai]=max(p); %определение максимума (k-соседей)
        Pcv(i,iai)=Pcv(i,iai)+1; %фиксация результата распознавания (k-
соседей)
    end
end
Pc_=Pc_/K;
Pcv=Pcv/K; % +
% фиксируем значение теоретической ошибки
terr2c1(tt) = PIJ(2, 1); % первый класс второй род
% фиксируем значения экспериментальных ошибок
err2c1_p(tt) = Pcv(2, 1); % значение ошибки при оценке k-соседей
err2c1(tt) = Pc_(2,1); % значение ошибки (3 лаба)
end % конец цикла по расстояниям между классами

```

```

%4. Визуализация областей принятия решений для двумерного случая
if n==2,
    xmin1=-4*sqrt(D)+min(m(1,:)); xmax1=4*sqrt(D)+max(m(1,:));
    xmin2=-4*sqrt(D)+min(m(2,:)); xmax2=4*sqrt(D)+max(m(2,:));
    x1=xmin1:0.05:xmax1; x2=xmin2:0.05:xmax2;
    axis([xmin1,xmax1,xmin2,xmax2]); %установка границ поля графика по осям
    figure; hold on; grid on;
    [X1,X2]=meshgrid(x1,x2); %матрицы значений координат случайного вектора
    x12=[X1(:),X2(:)];
    for i=1:M,
        f2=mvnpdf(x12,m(:,i)',C(:,:,i)); %массив значений плотности распределения
        f3=reshape(f2,length(x2),length(x1)); %матрица значений плотности
        [Ch,h]=contour(x1,x2,f3,[0.01,0.5*max(f3(:))],'Color','b','LineWidth',0.75);
        clabel(Ch,h);
        for j=i+1:M, %изображение разделяющих границ
            wij=C(:,:,j)*(m(:,i)-m(:,j));
            wij0=-0.5*(m(:,i)+m(:,j))'*C_(:,:,j)*(m(:,i)-m(:,j));
            f4=wij'*x12'+wij0;
            f5=reshape(f4,length(x2),length(x1));
            [Ch_,h_]=contour(x1,x2,f5,[10_(i,j)+0.0001],'Color','k','LineWidth',1.25);
        end;
    end;
    set(gca,'FontSize',13);
    title('Области локализации классов и разделяющие
границы','FontName','Courier');
    xlabel('x1','FontName','Courier'); ylabel('x2','FontName','Courier');
    strv1=' pw='; strv2=num2str(pw,'% G');
    text(xmin1+1,xmax2-1,[strv1,strv2],
'HorizontalAlignment','left','BackgroundColor',...
[.8 .8 .8],'FontSize',12); legend('wi','gij(x)=0');hold off;
end;

```

%5. Визуализация поверхностей плотностей распределения

```

x1 = 10:1:100;
x2 = -30:1:60;
[Y,X] = meshgrid(x1,x2);
x = [reshape(X.',1,[]);reshape(Y.',1,[])];
x_ = x.';
p = 0;
p2x = 0;
k = 100;
for i=1:M
    p = p + mvnpdf(x_,m(:,i)',C(:,:,i));
    p2x = p2x + vknn(x, XN{i}, 400);
end;
pi = reshape(p,[length(x2),length(x1)]);
p2x = reshape(p2x,[length(x2),length(x1)]);

```

```

disp(pi);
figure;
surf(X,Y,pi);
title('Поверхность плотности распределения классов (теоретически)');
figure;
surf(X,Y,p2x);
title('Поверхность плотности распределения классов (с оценкой)');

```

```

% ТЕПЕРЬ визуализация зависимостей ошибок от расстояния между классами
figure; hold on; % новое графическое окно + режим дорисовки
plot(DM, err2c1); % график экспериментальной ошибки (лабораторная №3)

```

```

plot(DM, err2c1_p); % график экспериментальной ошибки (с оценками k-
соседей)
plot(DM, terr2c1, 'g'); % теоретическое значение ошибки (первый класс первый
род)
title('Зависимость ошибки 2-го рода от расстояния между классами (первый
класс)');
xlabel('Расстояние между классами','FontName','Courier');
ylabel('Значение ошибки 2-го рода','FontName','Courier');
legend('Экспериментальная ошибка (3 лабораторная)', 'Экспериментальная
ошибка (при оценке k-соседей)', 'Теоретическое значение ошибки');
hold off;

% Теоретическая матрица ошибок
disp('Теоретическая матрица вероятностей ошибок'); disp(PIJ);
% экспериментальные матрицы ошибок
disp('Экспериментальная матрица вероятностей ошибок (с оценками k-
соседей)'); disp(Pcv);
disp('Экспериментальная матрица вероятностей ошибок (лабораторная
№3)'); disp(Pc_);

```

Результаты выполнения задания

В данной лабораторной работе, подобно л.р. №3, мы работаем с данными:

$$\mu_1=[2 \ 7], \mu_2=[1 \ 10], C_1=[4 \ -2; -2 \ 4], C_2=[5 \ 1; 1 \ 5]$$

1. Согласно заданию лабораторной №3, необходимо найти зависимость ошибки второго рода от расстояния между классами. Для этого найдем экспериментальную матрицу ошибок с помощью оценки k-соседей и сравним с матрицей, вычисленной в лабораторной №3.

Расстояние между классами растет:

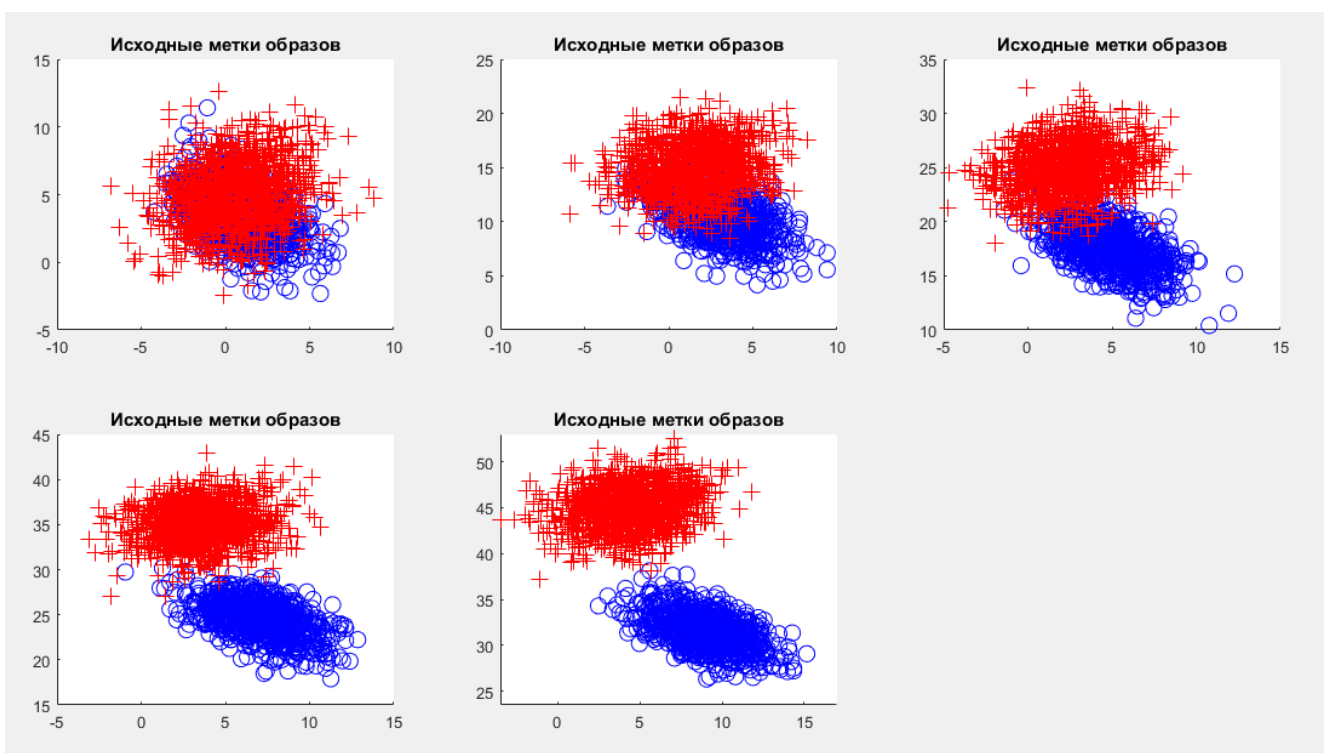


Рис.1.

При этом график зависимости выглядит следующим образом:

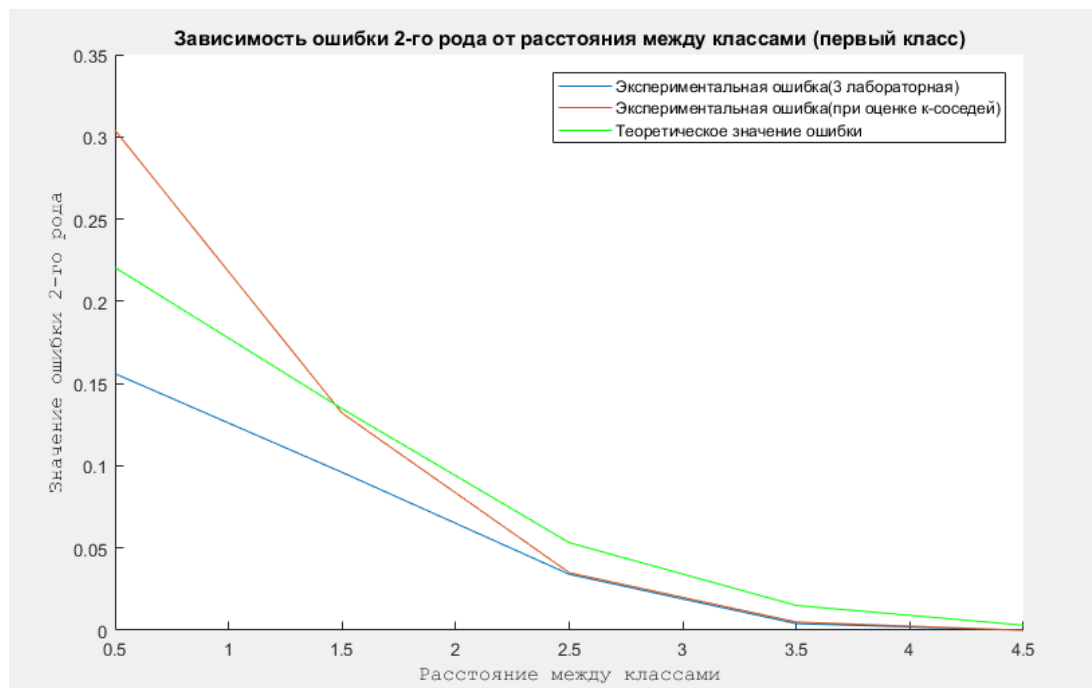


Рис.2.

При увеличении расстояния ошибка второго рода должна падать, что и отображает рис.2.

По графическому отображению результатов на рис.2. видно, что значение ошибки второго рода при экспериментальной матрице вероятностей ошибок, построенной с помощью оценки k-соседей уступает точности экспериментального метода в лабораторной №3. Однако, нужно заметить, значение ошибки второго рода при матрице с оценкой стремится к нулю быстрее, чем при теоретической матрице.

2. Сравнение экспериментальных вероятностей ошибок:

Для сравнения выведем данные:

- Теоретической матрицы ошибок
- Экспериментальной матрицы ошибок (из лабораторной №3)
- Экспериментальной матрицы ошибок (с помощью оценки)

Теоретическая матрица вероятностей ошибок

0.9985	0.0015
0.0031	0.9969

Экспериментальная матрица вероятностей ошибок (с оценками k-соседей)

0.9990	0.0010
0	1.0000

Экспериментальная матрица вероятностей ошибок (лабораторная №3)

1	0
0	1

Эти данные подтверждают рассуждения из пункта 1.

3. Отображение поверхностей плотностей распределения классов

Здесь мы рассматриваем конечное расстояние между классами.

Для начала отобразим области локализации образов (рис.3) и возьмем из п.1 визуализацию совокупности образов для конечного расстояния (рис.4).



Рис.3

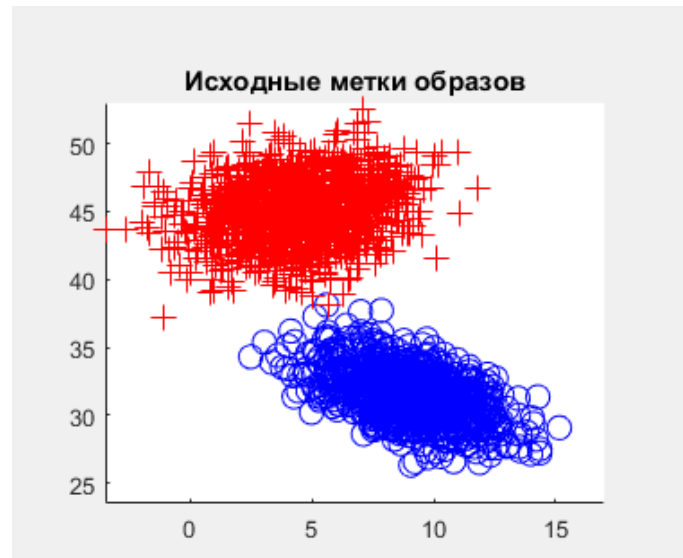


Рис.4

На рисунках видно координаты, в которых локализуются классы. Рассмотрим поверхность распределения на сетке, границы которых возьмем в зависимости от данных результатов отображения локализации.

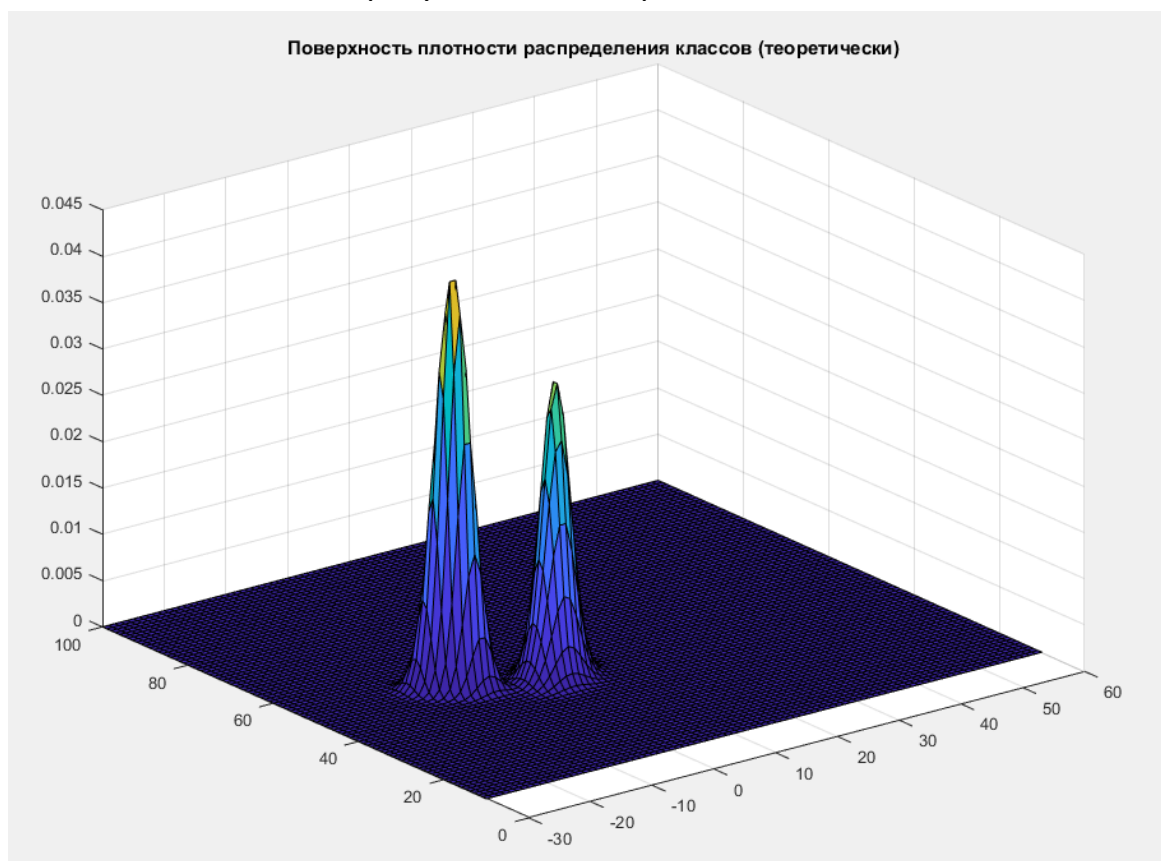


Рис.5

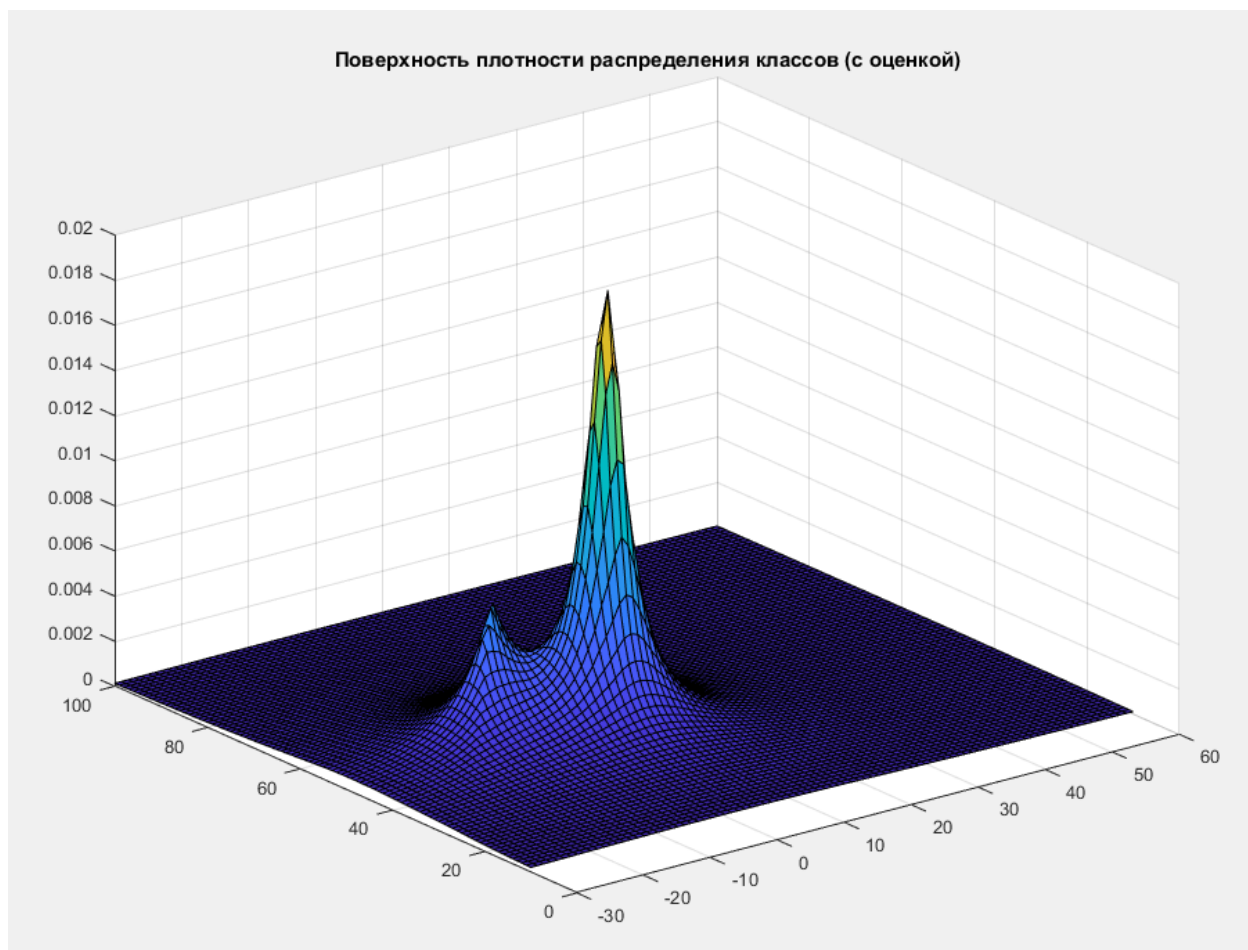


рис.6.

И отобразим результаты вместе для сравнения:

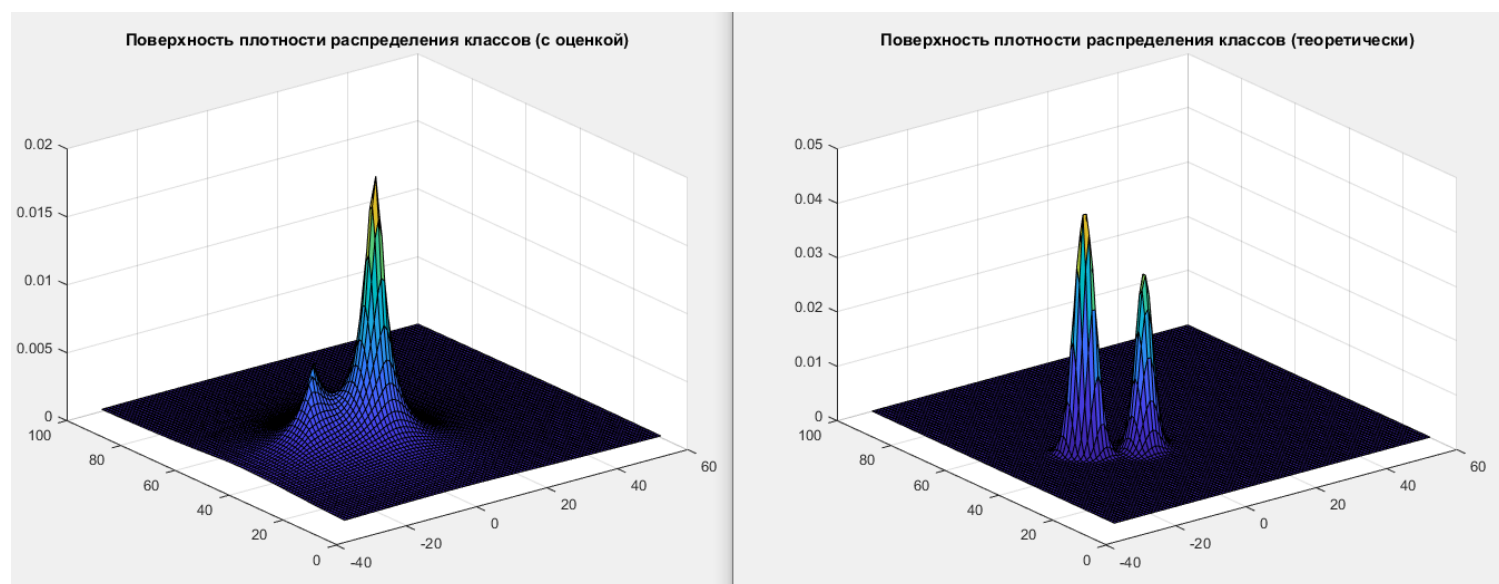


рис.7.

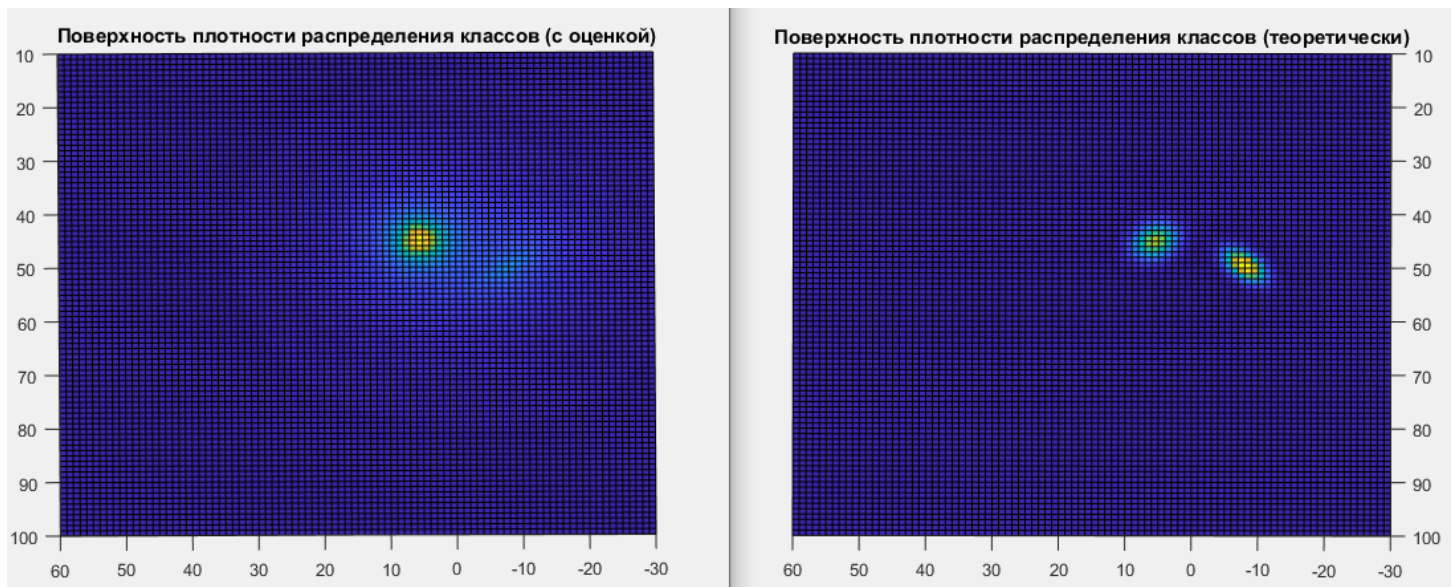


рис.8.

Анализ рисунков дает понять, что:

1. На обоих графиках плотности распределения классов расположены правильно, согласно областям локализации.
2. Поверхность теоретической плотности распределения классов дает наилучший результат, что видно по высоте плотностей распределения классов, а именно: Второй класс должен быть выше, чем первый, поскольку априорная вероятность второго больше. На графике поверхности плотности распределения с оценкой этот класс ниже первого.

Дополнительное измерение:

Поскольку результат оценивания k -соседей напрямую зависит от числа выборки, попробуем увеличить это число до 5000 и сравним результаты. Области локализации классов примут следующий вид:



Рис.9.

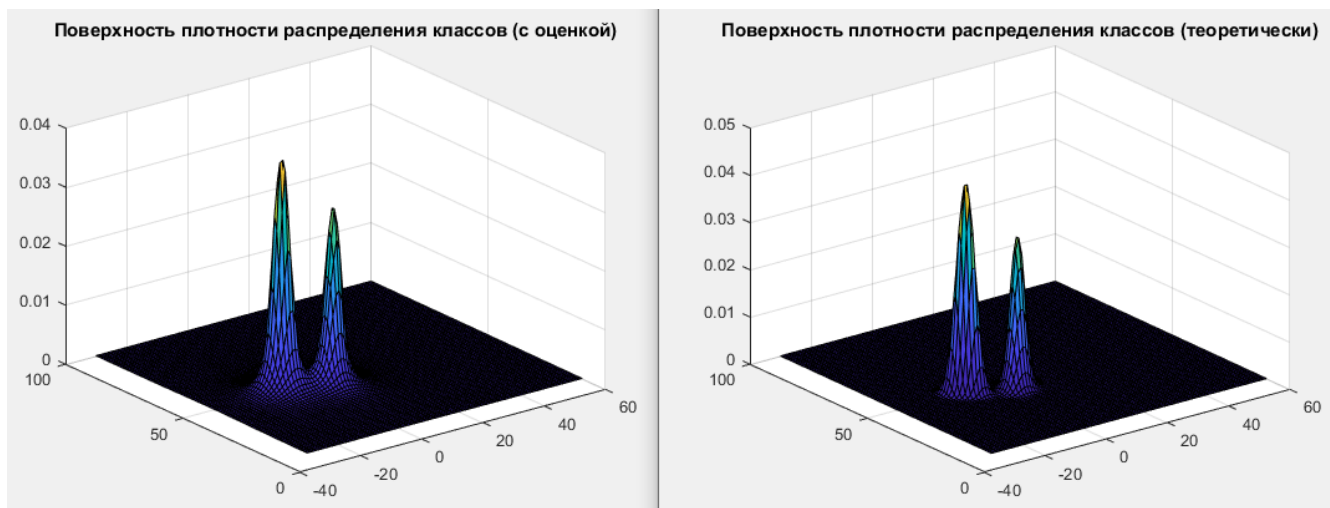


Рис.10

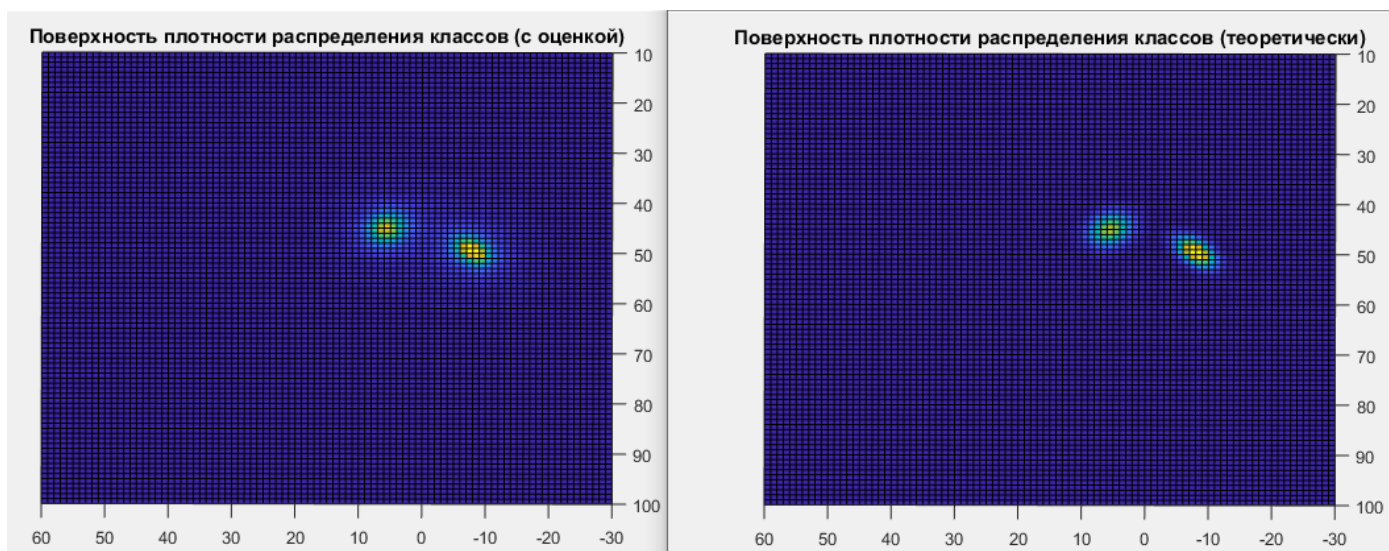


Рис.11.

По рисункам 10-11 видно, что распознавание с помощью оценки k -соседей сильно улучшилось благодаря увеличению объема выборки. Классы расположены верно и априорные вероятности классов в результате совпадают с заданными.

Выводы:

В результате лабораторной работы были исследованы алгоритмы распознавания образов на основе оценивания плотности распределения случайных величин и случайных векторов при использовании метода k ближайших соседей.